

# ИСПОЛЬЗОВАНИЕ СПЕЦИАЛИЗИРОВАННОЙ ЭВМ ДЛЯ РЕШЕНИЯ ЗАДАЧИ КОНТЕКСТНОГО ПОИСКА ИЗОБРАЖЕНИЙ

**Е.А.Башков, Н.С. Шозда**

Кафедра ПМиИ, ДонНДТУ

Shozda@r5.dgtu.donetsk.ua

## Abstract

*Evgeny A. Bashkov , Natalia S. Shozda. Using of special-purpose computer for content-based color image retrieval. This article deals with the problem of parallel computing for different stages in content-based color image retrieval. Estimation of acceleration for parallel algorithms and comparison of time complexity are given.*

## Введение

Часто задача контекстного поиска изображений требует решения в режиме реального времени, поэтому при разработке такого рода систем требуется решение задач алгоритмического и аппаратного ускорения. Эффективным способом повышения производительности вычислительных систем является разработка новых параллельных архитектур. Часто вместо последовательных алгоритмов используются параллельные, реализуемые на многопроцессорных ЭВМ. В работе рассматриваются вопросы повышения производительности процесса контекстного поиска изображений, предполагающего архитектурную поддержку: решаются задачи сравнения цветовых гистограмм изображений и сортировки изображений путем распараллеливания вычислений с использованием многопроцессорной ЭВМ SIMD-архитектуры, анализируется временная сложность последовательных и параллельных алгоритмов.

## 1. Поиск изображений по цветовым характеристикам

Рассматриваемая задача сводится к выполнению следующих шагов:

- 1) Вычисление расстояний  $d_i$  между цветовой гистограммой изображения-образца и гистограммами всех изображений в базе данных (БД);
- 2) Сортировка полученных значений  $d_i$  по возрастанию;
- 3) Визуализация изображений, соответствующих первым  $M$  значениям упорядоченной последовательности.

Для решения задачи контекстного поиска изображений предлагается использовать специализированную вычислительную систему (рисунок 1). В БД хранятся как сами изображения, так и вычисленные для них на этапе заполнения БД цветовые гистограммы. Под управлением HOST-компьютера выполняется ввод образца поиска (это может быть новое изображение, созданный пользователем эскиз либо изображение из БД) и вычисление для него цветовой гистограммы (при использовании образца-изображения из БД его цветовая гистограмма извлекается из БД). После этого в подсистеме сравнения вычисляются расстояния между гистограммами изображений из БД и гистограммой образца. Через буферную память (БП) вычисленные значения передаются в подсистему сортировки, где определяются изображения, наиболее близкие по своему содержимому к изображению-образцу, после чего выполняется визуализация выбранных изображений. Проведенные исследования основаны на идеальной модели, предполагающей, что подсистемы сравнения и сортировки представляют собой процессоры SIMD-архитектуры, в которых каждый процессорный элемент (ПЭ) имеет локальную память, может

выполнить любую арифметическую операцию за один такт; временные затраты, связанные с обращением к запоминающему устройству, отсутствуют.

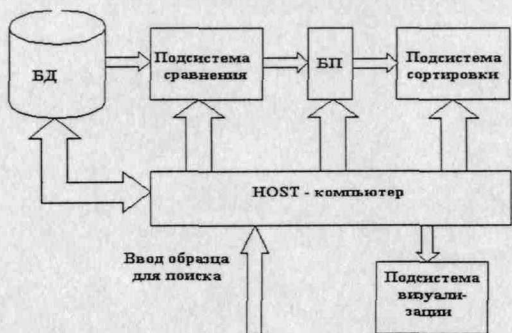


Рис. 1 Специализированная вычислительная система для решения задачи контекстного поиска изображений

## 2. Подсистема сравнения цветовых гистограмм

Цветовая гистограмма изображения представляет собой распределение цветов в трехмерном пространстве [1], в частности, для пространства RGB элементы гистограммы вычисляются таким образом:

$$H_{R,G,B}[r,g,b] = \frac{c(R=r, G=g, B=b)}{P} \quad (1)$$

где  $c\{R=r, G=g, B=b\}$  - количество таких точек в изображении, для которых цвет определяется составляющими  $r, g, b$ ,  $P$  - общее количество точек в изображении. Очевидно, что такая гистограмма является нормализованной, т.е.

$|h| = \sum_{i=1}^{K1} \sum_{j=1}^{K2} \sum_{k=1}^{K3} h[i, j, k] = 1$ , где  $K1, K2, K3$  - число уровней дискретизации

цветового пространства соответственно по осям  $R, G, B$ . В дальнейшем предполагается, что  $K1=K2=K3=K$ . Для сравнения цветовых гистограмм вычисляют расстояние между ними в пространстве гистограмм по одной из метрик [1], приведенных в таблице 1.

Таблица 1 Метрики для вычисления расстояния в пространстве цветовых гистограмм

Обозначение	Название	Формула для ненормализованных гистограмм	Формула для ненормализованных гистограмм
D1	Конъюнкция гистограмм	$D1 = 1 - \frac{\sum_{i=1}^K \sum_{j=1}^K \min(h_i[j, k], h_j[i, k])}{\min( h_i ,  h_j )}$	$D1 = \sum_{i=j=k=1}^{K1K2K3}  h_i[j, k] - h_j[i, k] $
D2	Евклидово расстояние	$D2 = \sqrt{\sum_{i=1}^K \sum_{j=1}^K \sum_{k=1}^K (h_i[j, k] - h_j[i, k])^2}$	$D2 = \sqrt{\sum_{i=j=k=1}^{K1K2K3} (h_i[j, k] - h_j[i, k])^2}$
D3	Косинусное расстояние	$D3 = 1 - \cos \theta = 1 - \frac{ h_i  \cdot  h_j  - D2}{2 h_i  \cdot  h_j }$	$D3 = 1 - \cos \theta = \frac{D2}{2}$
D4	Квадратичное расстояние	$D4 = (h_i - h_j)^T \cdot A \cdot (h_i - h_j)$	$D4 = (h_i - h_j)^T \cdot A \cdot (h_i - h_j)$

Подсистема сравнения в предложенной вычислительной системе реализована в виде SIMD- процессора с кубической сеткой, содержащей  $K^3$  процессорных элементов. Параллельные алгоритмы вычисления расстояний между гистограммами по метрикам из таблицы 1, а также оценка временных затрат рассмотрены в [2]. В таблице 2 приведены формулы для определения временных затрат и вычисления ускорения[3] соответствующих алгоритмов.

**Таблица 2 Временные затраты и ускорение параллельных алгоритмов для вычисления расстояний между цветовыми гистограммами**

Метрика	Временные затраты на вычисление с использованием последовательной ЭВМ	Временные затраты на параллельное вычисление	Ускорение параллельного алгоритма
D1,D2, D3	$T_2 = 2 \cdot K^3 \cdot t_{\text{op}}$	$T_1 = +3 \log_2 K + 3 \cdot (K - 1) / S \cdot t_{\text{op}}$	$E = \frac{2K^2}{(3/S) \cdot \log_2 K}$
D4	$T_2 = (2 \cdot K^6 + 2 \cdot K^3 - 1)t_{\text{op}}$	$T_1 = ((2 + 1/S) \cdot (K^3 - 1) + 3 + \log_2 K^3) \cdot t_{\text{op}}$	$E = \frac{2K^6 + 2K^3 - 1}{(2 + 1/S) \cdot (K^3 - 1) + 3 + \log_2 K^3}$

В приведенных формулах константа  $S$  характеризует, во сколько раз быстрее выполняется операция сдвига по сравнению с арифметическими операциями. Наиболее трудоемким является вычисление расстояния по метрике D4 (квадратичное расстояние). На рисунке 2 показана зависимость временных затрат на вычисление этой величины на ЭВМ последовательной архитектуры и на предлагаемом SIMD-процессоре от количества цветов в изображении. Аналогичные зависимости могут быть построены и для вычисления расстояния по другим метрикам [2].

### 3. Подсистема сортировки

Функции подсистемы сортировки заключаются в определении  $M$  изображений, наиболее сходных с образцом (или, что то же самое, в выборе из полученной от подсистемы сравнения последовательности расстояний  $D = (d_1, d_2, \dots, d_n)$   $M$  элементов с минимальными значениями). С этой целью предлагается использовать параллельный



**Рис. 2 Зависимость временной сложности вычисления квадратичного расстояния между гистограммами от числа цветов в изображении**

алгоритм, базирующийся на алгоритме линейного выбора с подсчетом [4]. Суть алгоритма в том, что для каждого элемента определяется количество элементов, меньших рассматриваемого; и это число характеризует положение элемента в

упорядоченной последовательности. При этом для последовательности из  $n$  элементов используется  $n$  просмотров. На первом просмотре выполняется  $(n-1)$  операция сравнения, на втором -  $(n-2)$  операции и т.д. Общее число сравнений при последовательном выполнении такого алгоритма составит

$$t_1 = (n-1) + (n-2) + (n-3) + \dots + 1 = \frac{(n-1)+1}{2} \cdot (n-1) = \frac{n^2-n}{2} \quad (2)$$

После каждого сравнения выполняется сложение, поэтому общее время выполнения последовательного алгоритма составит

$$T_0 = (n^2 - n) \cdot t_{\text{op}} \quad (3)$$

Параллельная реализация этого алгоритма предполагает, что подсистема сортировки представляет собой SIMD-процессор с линейкой процессорных элементов, каждый из которых связан с двумя соседними.

Рассмотрим параллельный алгоритм, предполагающий, что подсистема сортировки состоит из  $n$  ПЭ ( $n$ -число упорядочиваемых элементов последовательности  $D=(d_1, d_2, \dots, d_n)$ ), и в локальной памяти ПЭ имеются ячейки для хранения сравниваемых элементов и счетчика сравнений. Первоначально в  $i$ -й ПЭ загружаются значения  $d_i$  и  $d_{i+1}$  (в ПЭ с номером  $n$  загружаются элементы  $d_1$  и  $d_{n-1}$ ), ячейки, соответствующие счетчикам, обнуляются. После этого в каждом ПЭ выполняется сравнение элементов  $d_i$  и  $d_{i+1}$ , и, если первое значение больше, то наращивается счетчик. Затем выполняется циклический сдвиг влево значений, находящихся в ячейке 2. Такая последовательность сравнений и сдвигов повторяется  $n$  раз, после чего ячейка-счетчик каждого ПЭ содержит номер соответствующего значения  $d_i$  в упорядоченной по возрастанию последовательности. После этого остается только визуализировать те изображения, для которых счетчик не превышает  $M$ .

Для описанного алгоритма выполняется  $n$  операций сдвига,  $(n-1)$  операция сравнения и столько же операций сложения. Время выполнения алгоритма составит

$$T_1 = n \cdot t_{\text{shift}} + 2 \cdot (n-1) \cdot t_{\text{op}} = (\frac{n}{S} + 2n - 2)t_{\text{op}} \quad (4)$$

Ускорение параллельного алгоритма равно

$$E = \frac{n^2 - n}{n/S + 2n - 2}. \quad (5)$$

Несмотря на хорошие характеристики, этот алгоритм нереализуем в задаче контекстного поиска изображений, поскольку число изображений в БД практически неограничено; необходимо модифицировать рассмотренный алгоритм для случая фиксированного числа процессорных элементов  $P$ ,  $P < n$ , т.е. необходимо разместить  $n$  виртуальных ПЭ на  $P$  реальных. При этом коэффициент виртуализации [5] составит

$$K_v = (n \text{ div } P) + 1 \quad (6)$$

Первая модификация алгоритма предполагает, что в локальную память произвольного  $i$ -го ПЭ ( $i=1..P$ ) загружаются следующие значения:

- массив  $D=(d_1, d_2, \dots, d_n)$ ;
- значение  $a=D[i]$ ;
- счетчик  $c=0$ .

После этого в каждом ПЭ выполняется такая последовательность действий:

```
For j:=1 to n do
  If a>D[j] then c:=c+1;
```

При этом выполняется  $n$  операций наращивания счетчика цикла,  $n$  сравнений этого счетчика с границей цикла,  $n$  сравнений и  $n$  сложений внутри цикла, и все эти действия повторяются  $K_v$  раз. Суммарные временные затраты составят

$$T_2^1 = 4 \cdot K_v \cdot n \cdot t_{\text{op}}, \quad (7)$$

а ускорение параллельного алгоритма может быть вычислено по формуле

$$E = \frac{n^2 - n}{4 \cdot K_v \cdot n} = \frac{n - 1}{4 \cdot K_v}. \quad (8)$$

Вторая модификация алгоритма заключается в следующем. В локальную память произвольного  $i$ -го ПЭ ( $i=1..P$ ) загружаются:

- значение  $b=D[i+1]$ ;
- значение  $a=D[i]$ ;
- счетчик  $c=0$ .

После этого в каждом ПЭ выполняется такая последовательность действий:

```
if a>b then c:=c+1;
```

Затем выполняется сдвиг влево на одну позицию значений, находящихся в ячейке  $b$ , а ПЭ с номером  $P$  считывает из буферной памяти следующее по порядку значение  $b$ . Таким образом, на каждом шаге выполняется одна операция сравнения, одна операция сложения и одна операция сдвига. С учетом коэффициента виртуализации суммарные временные затраты составят

$$T_2^2 = K_v \cdot n \cdot (2 \cdot t_{op} + t_{shift}) = K_v \cdot n \cdot \frac{2 \cdot S + 1}{S} \cdot t_{op}, \quad (9)$$

а ускорение параллельного алгоритма равно

$$E = \frac{n^2 - n}{K_v \cdot n \cdot \frac{2 \cdot S + 1}{S}} = \frac{n - 1}{K_v \cdot \frac{2 \cdot S + 1}{S}}. \quad (10)$$

Учитывая, что  $S$ - целочисленная константа,  $S > 1$ , можно сказать, что с точки зрения ускорения две рассмотренные модификации практически равносильны. Поэтому все рассуждения, приведенные ниже, справедливы для обоих рассмотренных алгоритмов. На рис. 3 показана зависимость числа выполняемых операций от количества ПЭ в подсистеме сортировки для БД, содержащей 1 млн. изображений. Из графика видно, что временные затраты рассматриваемого алгоритма сверху ограничены временем выполнения последовательного алгоритма, а снизу - временем выполнения алгоритма на линейке с неограниченным числом ПЭ.

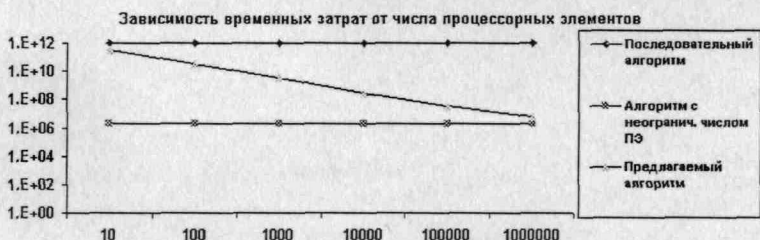


Рис. 3 Сравнение зависимостей временных затрат от количества процессорных элементов для БД из 1 млн. изображений

Изображенная на рис. 4 зависимость времени выполнения алгоритма от числа изображений в БД (количество ПЭ равно 1000) показывает рациональность распараллеливания вычислений.

#### 4. Оценка совместного времени функционирования подсистем сравнения и сортировки

Для оценки совместного времени функционирования подсистем сравнения и сортировки необходимо просуммировать временные затраты подсистем. На рисунке 5 показана зависимость временных затрат от числа изображений в БД (в качестве метрики выбрано квадратичное расстояние в пространстве гистограмм, в составе подсистемы сравнения- 1000 ПЭ).

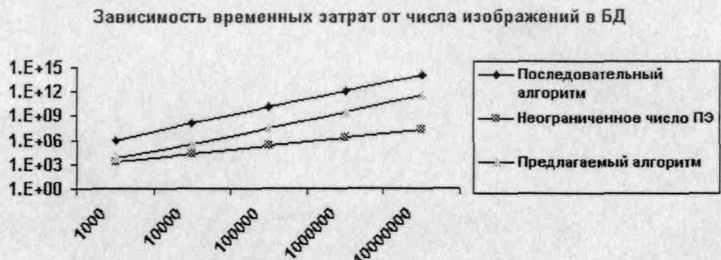


Рис. 4 Сравнение зависимостей временных затрат от числа изображений в БД для 1000 процессорных элементов

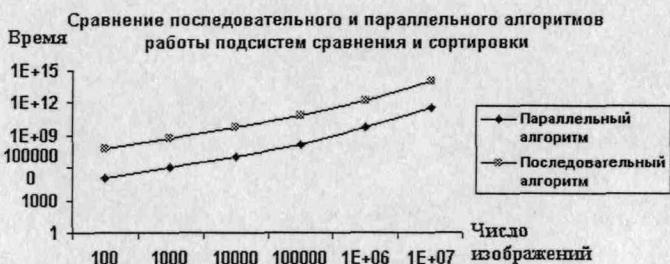


Рис. 5 Зависимость временных затрат от числа изображений в БД

## Заключение

В данной работе предложена организация специализированной ЭВМ для контекстного поиска изображений, проанализирована возможность распараллеливания вычислений на различных этапах работы системы контекстного поиска изображений и показана рациональность такого подхода. Среди направлений дальнейшего усовершенствования данной вычислительной системы следует указать ее расширение за счет введения подсистемы вычисления цветовых гистограмм на этапе занесения изображения в БД, также реализованной в виде SIMD- процессора.

## Литература

- John R. Smith and Shih-Fu Chang. Tools and Techniques for Color Image Retrieval ACM Multimedia 1996: Boston, MA
- Шозда Н. С. Поиск в базе данных изображений земной поверхности.- Тезисы всеукраинской молодежной научно-практической конференции «Людина і космос». - Днепропетровск, 1999.
- Ортега Дж. Введение в параллельные и векторные методы решения линейных систем: Пер. с англ.-М.: Мир, 1991-367 с.
- Лорин Г. Сортировка и системы сортировки: Пер с англ.-М.: Наука, 1983- 384 с.
- Бройнль Т. Паралельне програмування (пер. з німецької В.А.Святного).-Київ: Вища школа, 1997.